

支持组用户授权管理的共享数据完整性验证方案^①



张邓凡, 袁艺林, 杨帆, 李子臣

(北京印刷学院 信息工程学院, 北京 102600)

通信作者: 袁艺林, E-mail: yuanyilin@bigc.edu.cn

摘要: 本文旨在解决共享医疗数据场景下的群组用户授权管理与完整性验证问题. 首先, 为防止群组用户越权操作, 引入授权标识符, 医疗数据持有者凭授权标识符, 结合用户身份完成权限分配; 而授权标识符的数学构造可有效保证其不可伪造性. 其次, 为记录撤销用户并剥夺其访问权限, 引入基于跳表设计的撤销用户表; 跳表的快速查找和插入的特性, 使方案撤销用户的开销仅为 $O(\log n)$. 随后, 完善了共享数据完整性验证的具体流程与数学设计. 最后通过安全性分析和仿真实验证明了方案的安全性和高效性.

关键词: 云存储安全; 完整性验证; 医疗数据; 群组用户; 授权管理

引用格式: 张邓凡, 袁艺林, 杨帆, 李子臣. 支持组用户授权管理的共享数据完整性验证方案. 计算机系统应用, 2024, 33(8): 98-107. <http://www.c-s-a.org.cn/1003-3254/9589.html>

Integrity Verification Scheme for Shared Data Enabling Group User Authorization Management

ZHANG Deng-Fan, YUAN Yi-Lin, YANG Fan, LI Zi-Chen

(College of Information Engineering, Beijing Institute of Graphic Communication, Beijing 102600, China)

Abstract: This study is designed to address the issues of group user authorization management and integrity verification for shared medical data. First, to prevent group users from overstepping their authority, authorization identifiers are introduced. Medical data owners use authorization identifiers to allocate different access rights to group users, according to user identities. The mathematical construction of authorization identifiers effectively ensures that it cannot be forged. Second, to record revoked users and deprive them of access rights, a revoked user list based on a skip list is introduced. As skip list can support fast lookup and insertion, the overhead of revoking a user is only $O(\log n)$. Afterward, the concrete process and mathematical design of shared data integrity verification are improved. Finally, the security analysis and simulation experiments prove the security and efficiency of the scheme.

Key words: cloud storage security; integrity verification; medical data; group user; authorization management

1 引言

近年来, 云计算技术发展迅猛^[1], 云存储作为云计算的重要服务之一, 为使用者提供了海量的存储空间, 却只需付出与配套硬件相比极小比重的代价^[2], 因此备受青睐^[3]. 当购买云存储服务后, 云存储服务器为用户提供存储空间, 同时使用者可凭借租赁凭证访问远程数据. 对于云平台而言, 可通过自定义规则完成数据的整

合与管理, 若使用者提供访问规则, 云平台也应满足. 以上内容是云存储服务可访问性与灵活性的体现. 同时, 在规则完善的前提下, 借助云平台可实现用户数据的共享, 当前的医疗数据共享大多借助云平台实现.

医疗数据是病人在医院或健康机构产生的各种数据, 包括诊疗、体检等数据, 病人可以从相应机构获取并下载至本地^[4]. 医疗数据共享, 指数据可被获得许可

① 收稿时间: 2024-02-22; 修改时间: 2024-03-19; 采用时间: 2024-04-01; csa 在线出版时间: 2024-06-28

CNKI 网络首发时间: 2024-07-01

的其他人员查看。比如外地医生等, 医疗数据共享使看诊医生快速地获取到病人的过往病历, 促进医疗数据共享便于实现诊疗快速化^[5]。当数据持有者将自己的医疗数据上传至云端与他人共享时, 访问用户无需向医疗机构申请, 而是直接与数据持有者交互, 避免了经由医疗机构申请访问的繁琐流程, 实时性更强。尽管借助云存储完成医疗数据共享具备数据获取快捷, 成本低等显著优势^[6], 但因用户丧失了外包数据的物理控制, 加之云服务提供商 (cloud service provider, CSP) 的不可信性, 远程数据的完整性与正确性无法确定。例如, 因遭受自然灾害、黑客攻击等不可抗因素, CSP 上存储的用户数据被迫丢失; 为节省存储空间, CSP 主动丢弃一些不常访问的数据。这些因素导致的数据丢失都违背了用户选择云存储服务的初衷, 会使用户对云存储服务丧失信心^[7], 因此, 有必要对云端数据定期执行完整性验证^[8-12]。

数据共享意味着会有多人访问数据, 但访问数据的用户并非可以完全信任。例如: 目前有许多医院推出了网上看诊平台, 由于平台的开放性, 会有大量的潜在用户访问平台提供的病例。未获得访问权限的用户试图非法查看共享数据; 获得查看权限的用户不满足当前权限, 妄图修改数据。由于医疗数据的特殊性, 需要约束访问医疗数据用户的行为。另外, 群组的访问规则应当是灵活的, 如为新加入的用户明确访问权限, 为离组用户撤销访问权限。因此除对云端共享数据的完整性验证问题展开讨论外, 共享数据的访问权限也应明确。综上, 针对共享医疗数据的完整性验证问题, 需从数据校验与文件访问的安全性两个角度出发展开研究。

本文针对云存储共享医疗数据场景, 在保证医疗数据完整性的基础上, 解决群组用户访问共享数据的权限分配和管理问题, 贡献总结如下。

(1) 为便于访问权限分配, 共享医疗数据持有者向申请用户分配授权标识符, 哈希函数的抗碰撞性保证授权标识符不会被伪造。为便于访问权限管理, 引入可信实体群管理者。群管理者无需本地保存用户权限信息便可验证群组用户的权限, 极大地节省了存储代价。考虑到医疗共享数据的私密性, 委托群管理者定期检测群组用户的行为, 及时发现并剔除恶意用户, 增加系统安全性并降低群组开销。

(2) 医疗数据在上传至 CSP 前会进行加密操作, 可保证第三方审计者在完整性验证阶段无法通过暴力破

解的方式获取到任何信息, 保证了数据机密性。安全性分析部分证明了本方案的正确性, 以及用户删除安全性。实验分析证明了方案的可行性和高效性。

1.1 相关研究

数据完整性验证技术可对云端外包数据的正确性与完整性进行验证。最初的完整性校验技术采用将云端文件全部下载至本地再执行验证的形式, 验证准确率最高但成本巨大。Ateniese 等人^[13]在 2007 年提出了数据可持有性验证 (provable data possession, PDP) 方案, 用户不需在验证阶段将所有外包文件下载到本地, 只需随机抽样部分数据块执行校验即可, 极大地降低了通信开销, 同时以很高的概率保证数据的完整性。随后, 为减轻用户验证的负担与计算代价并支持公开审计, 委托第三方审计员 (third party auditor, TPA) 代替用户进行完整性验证的方案被提出^[6-9,12,14-19]。

群组数据共享作为云存储的重要应用, 也被广泛讨论。Wang 等人^[12]首先提出了支持保护群组用户隐私的公开完整性审计方案。Wang 等人^[14]也提出验证者无法破解签名者身份的群组共享数据公开审计方案, 但随着群组用户数量的增加, 验证开销也随之增长, 不适合用户较多的情形。Shen 等人^[2]针对共享多副本加密医疗数据, 设计了数据完整性验证方案。

考虑到群组用户可能是动态的, 一旦有用户撤销离组, 其参与签名的共享数据将无法被验证的问题, Wang 等人^[15]采用代理重签名技术提出相应方案, 但在用户删除阶段只针对撤销用户对签名数据块产生的影响进行了讨论, 未考虑撤销用户与 CSP 合谋的情形。基于保证前向安全性的群签名方案, 付安民等人^[16]假设群组中可能存在多个管理者, 构造了多管理者情形下支持用户撤销的完整性验证方案。在该方案中, 多管理者需同时在本地保存所有加入过群组的成员信息, 诸如撤销用户信息, 并根据已撤销用户的撤销密钥计算出一个变量, 通过比较用户撤销密钥与该变量是否有公因数来判断用户是否已离组, 但此时若有未被撤销的用户的撤销密钥是任一已撤销用户撤销密钥的因数, 则会产生误判, 导致无辜用户被迫离组。Zhang 等人^[17]的方案让每个群组用户都需要根据自己的私钥生成验证标签, 被撤销的群组用户将无法获取合法的私钥, 因此被撤销用户无法继续生成合法的验证标签。并且在撤销用户后被撤销用户产生的验证标签, 只需更换未被撤销用户的密钥, 有效地降低了用户撤销的计算开

销,但未明确被撤销用户的管理措施,且云端数据验证开销较大. He 等人^[18]在实现云数据全动态的基础上支持群组中的用户撤销. Deng 等人^[19]提出让群管理员和群组用户共同生成验证标签,让审计者无法获取生成标签的用户身份,引入用户信息表记录合法用户,由于用户信息表为顺序表,确定用户为合法用户的计算复杂度为 $O(n)$,开销较大. Li 等人^[20]讨论在线共享文件的动态操作问题,一旦某一用户被撤销,便剥夺该用户编辑和更改文件的权力,使共享文件不被恶意篡改,并保护群组用户的隐私. Yang 等人^[21]基于无证书密码体制,构造了支持用户撤销的共享数据完整性验证方案. 上述方案针对群组被撤销用户无法继续对共享数据生成完整性验证标签,以及撤销成本问题进行了研究,但均未提出高效地区分正常群组用户和被撤销用户的措施,也未实现用户访问授权.

因此,在群组共享云医疗数据的场景下,通过借鉴上述方案,提出了支持群用户授权管理的共享数据完整性审计方案.

1.2 文章结构

本文第2节介绍基础知识. 第3节方案描述. 第4节详细介绍支持组用户授权管理的医疗数据完整性验证方案. 第5节分析所提方案的安全性. 第6节进行性能评估. 第7节全文总结.

2 基础知识

2.1 双线性映射

假设 G_1, G_2 均为阶为 q 的乘法循环群, g 是 G_1 生成元, 双线性映射 $e: G_1 \times G_1 \rightarrow G_2$ 满足以下性质.

- (1) 双线性: 对任意 $u, v \in G_1$ 和 $\forall a, b \in Z_p^*$, 都有 $e(u^a, v^b) = e(u, v)^{ab}$;
- (2) 非退化性: $e(g, g) \neq 1$;
- (3) 可计算性: 存在可以有效计算出 e 的方法.

2.2 离散对数问题

离散对数 (discrete logarithm, DL) 问题: 设 $a \in Z_p^*$, 已知 $g, g^a \in G_1$, 求 a .

DL 假设: 对于攻击者 A , 在多项式时间内求解出离散对数问题的概率可忽略的, 表示为:

$$\Pr[A(g, g^a) = (a) : a \xleftarrow{R} Z_p^*] \leq \epsilon$$

2.3 计算 Diffie-Hellman 问题

计算 Diffie-Hellman (computational Diffie-Hellman,

CDH) 问题: 已知 $g, g^a, g^b \in G_1$, 求 g^{ab} .

CDH 假设: 对于攻击者 A , 在多项式时间内求解出 CDH 问题的概率可忽略的, 表示为:

$$\Pr[A(g, g^a, g^b) = (g^{ab}) : a, b \xleftarrow{R} Z_p^*] \leq \epsilon$$

3 方案描述

3.1 方案模型

图1为方案模型图, 共包含数据持有者 (data owner, DO)、群管理者 (group administrator, GA)、云存储提供者 (cloud service provider, CSP)、群组用户 (group member, GM) 和第三方审计员 (third party auditor, TPA) 这5个实体, 具体描述如下.

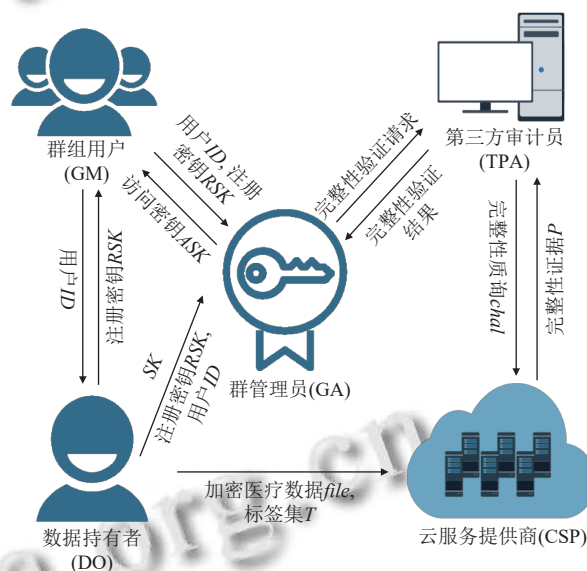


图1 支持组用户授权管理的完整性验证方案模型图

(1) DO: 云存储医疗数据的拥有者. 职责有: 1) 向用户发放注册密钥 (register secret key, RSK) 和授权标识符; 2) 委托 GA 对群组用户进行管理; 3) 委托 GA 保存完整性验证结果.

(2) GA: GA 需要进行 4 项工作: 1) 为群组用户分配访问密钥 (access secret key, ASK); 2) 记录并管理用户的身份信息; 3) 委托 TPA 执行完整性验证, 并定期记录完整性验证结果; 4) 定期监测群组用户访问文件的行为, 撤销恶意用户访问权限, 并更新撤销用户表.

(3) CSP: 云服务提供者, 不可信实体. 为 DO 提供数据存储服务, 在完整性验证阶段根据完整性质询内容提供完整性证据.

(4) GM: 拥有合法 RSK 的用户被视为群组用户,

从 GA 获取合法的访问密钥后访问云存储医疗数据。群组用户如果出现下述恶意行为: 1) 长时间不访问数据。2) 执行 DO 未授权的操作。会被 GA 认定为恶意用户, 身份信息 ID 会记录至撤销用户表。长时间不访问的用户可能是不需访问数据的用户, 或是可能与攻击者合谋的用户。撤销掉这部分用户的权限有助于增加方案安全性, 同时可以减轻 GA 监测用户行为的负担。

(5) TPA: 第三方审计员, 可信实体。执行远程云存储医疗数据的完整性校验工作。

3.2 算法介绍

方案包含 6 个算法: Setup、RSKeyGen、ASKeyGen、TagGen、ProofGen、ProofVerify, 简介如下。

Setup: 该算法由 DO 和 GA 在建立系统时执行。DO 输入自己的身份信息 ID_0 得到并公开系统参数 pub 和主公钥 mpk 。GA 秘密地选择自己的密钥 $x_A \in Z_p^*$ 。

RSKeyGen: 该算法由 DO 执行。输入用户的 $ID \in Z_p^*$, 输出 $(ID, U_{ID}, \omega_s, RSK_{ID})$ 。其中 U_{ID} 是用户的匿名身份; $\omega_s \in Z_p^*$ 为授权标识符; RSK_{ID} 为用户的注册密钥。

ASKeyGen: 该算法由 GA 执行。输入群组用户的 (ID, ω_s, RSK_{ID}) , 输出 (ASK_{ID}, SK) 。其中 ASK_{ID} 为群组用户的访问密钥; SK 为解密医疗数据的密钥。

TagGen: 该算法由 DO 执行。输入公开参数 pub 和加密医疗数据 $file = \{m_i\}_{i=1}^n, m_i \in Z_p^*$, 输出标签集 $T = \{T_i\}_{i=1}^n$ 。

ProofGen: 该算法由 CSP 执行。输入完整性质询 $chal$, 输出完整性证据 P 。

ProofVerify: 该算法由 TPA 执行。输入完整性质询 $chal$ 、完整性证据 P 、公开参数 pub , 如果验证通过输出 1, 否则输出 0。

4 具体方案

4.1 撤销用户表

本方案添加由 GA 本地保存并维护的撤销用户表, 用来记录恶意用户。因为方案中设定, GA 会将有恶意行为的群组用户认定为恶意用户, 并将恶意用户的 ID 加入撤销用户表。为保证 GA 不再给恶意用户分配 ASK , 在给申请 ASK 的用户分配 ASK 前, GA 需要先查找撤销用户表来确定用户是否属于恶意用户。综上, 需要采用支持快速查找和插入操作的数据结构对撤销的用户进行记录。因此撤销用户表选用跳表^[22]实现, 其结构如图 2 所示。图中的方块代表撤销用户表中的一个节点, 节点中记录恶意用户的 ID , 并按用户 ID 的数字大小

从左到右排列。

引入该结构会增加 GA 的存储负担, 但是为了系统的安全性是必要的。本方案中撤销用户的计算开销可以达到 $O(\log n)$, 而文献[19]的方案计算复杂度为 $O(n)$ 。

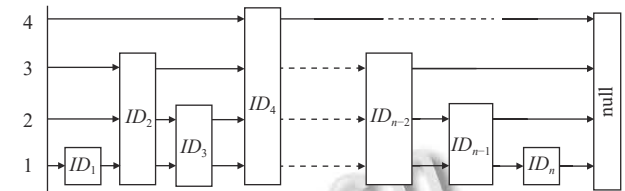


图 2 L 的大致结构

4.2 方案详细步骤

图 3 为方案流程图。方案具体步骤描述如下。

(1) 初始化阶段 (Setup 和 TagGen 算法)

1) DO: 执行 Setup 算法。选择两个阶均为 p 的乘法循环群 G_1, G_2 , g 是 G_1 的生成元。DO 选定密码哈希函数 $H: \{0, 1\}^* \rightarrow G_1$, 双线性映射 $e: G_1 \times G_1 \rightarrow G_2$ 。选定随机值 $\mu_1, \mu_2, \dots, \mu_n, f_1, f_2, \dots, f_n \in G_1$ 。挑选主密钥 $msk = x_0 \in Z_p^*$, 计算主公钥 $mpk = g^{x_0}$ 。保存储主密钥 msk , 公布主公钥 mpk 和公开参数 $pub = (G_1, G_2, g, p, e, H, \mu_1, \dots, \mu_n, f_1, \dots, f_n)$ 。

2) GA: 执行 Setup 算法。选择随机数 $x_A \in Z_p^*$ 作为自己的密钥。创建记录撤销用户 ID 的撤销用户表 L , 初始设为空。

3) DO: 秘密选择文件加密密钥 $SK \in Z_p^*$, 用对称加密算法加密医疗数据 F , F 加密后得到加密医疗数据 $file$ 。将 $file$ 分块为 $\{m_i\}_{i=1}^n$, 其中 $m_i \in Z_p^*$, 同时设置文件标识符 $name \in Z_p^*$ 。运行 TagGen 算法为每个数据块 m_i 计算验证标签 $T_i = g^{x_0} \cdot H(name || i)^{m_i}$ 。随后, 将加密密钥 SK 与 GA 通过安全信道共享, 再将加密医疗数据 $file = \{m_i\}_{i=1}^n$ 和标签集 $T = \{T_i\}_{i=1}^n$ 发送至 CSP, 并删除本地数据。

(2) 用户请求阶段 (RSKeyGen 和 ASKeyGen 算法)

1) 方案设定 DO 能为用户分配两种权限: a) DO 若正在看病, DO 判定现在申请权限的用户为看病的医生, 则赋予该用户查看、修改的权限; b) 不属于 a) 中的用户, 只会赋予查看的权限。这样可以最大限度地减少用户对医疗数据的操作, 提高方案安全性。用户发送自己的身份信息 ID 向 DO 申请注册密钥 RSK_{ID} 。DO 收到用户申请后, 先判断是否为该用户分配访问权限, 若要分配则继续下一步, 否则拒绝用户请求。

2) DO: 运行 $RSKeyGen$ 算法, 秘密选择随机数 $a \in Z_p^*$, 计算并公开 $\delta = g^a$. 为用户分配授权标识符 $\omega_s \in Z_p^*$, 当 ω_s 为全 0 比特串时, 代表用户拥有查看、修改医疗数据的权限; 当 ω_s 为全 1 比特串时, 代表此用户只有查看医疗数据的权限. 利用下式计算并发送用户相关信息

息, 并分别发送 $(ID, U_{ID}, \omega_s, RASK_{ID})$ 和 $(U_{ID}, \omega_s, RSK_{ID})$ 至 GA 和用户:

$$\begin{cases} U_{ID} = H(name||ID) \\ RSK_{ID} = g^{x_0} \cdot \left(\prod_{i=1}^n \mu_i\right)^a \cdot H((U_{ID}||name) \oplus \omega_s)^{x_0} \end{cases}$$

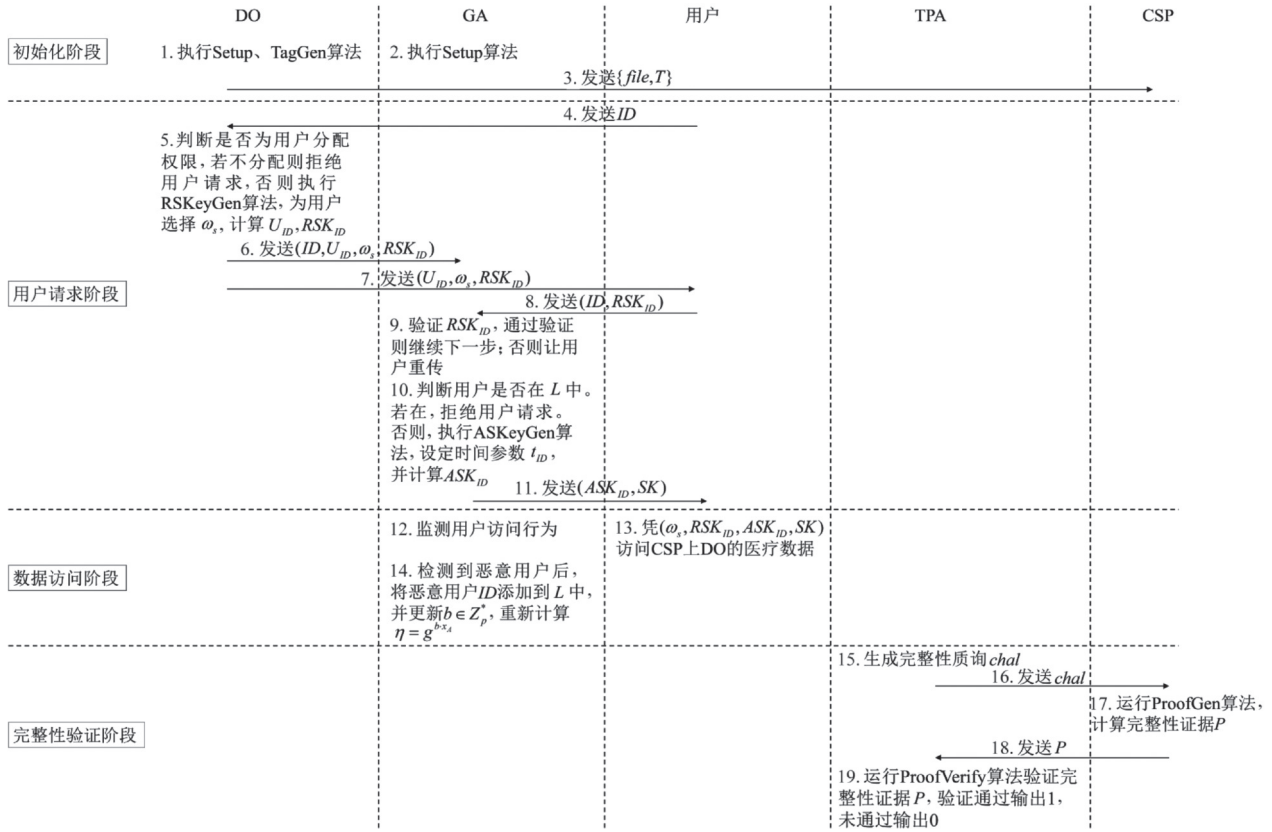


图3 方案流程图

3) 用户收到 RSK_{ID} 后成为群组用户. 群组用户向 GA 发送 $(U_{ID}, \omega_s, RSK_{ID})$ 申请访问密钥 ASK_{ID} . GA 查找撤销用户表 L , 判断用户 ID 是否存在于 L 中. 若存在, 则证明该用户是被 GA 认定的恶意用户, 拒绝用户请求; 否则, 继续下一步骤.

Z_p^* , 控制用户访问时间. 随机选择秘密随机数 $b \in Z_p^*$, 计算并公开 $\eta = g^{b \cdot x_A}(t_{ID}, ASK_{ID})$, 并利用下式为该用户产生访问密钥 ASK_{ID} .

$$ASK_{ID} = g^{x_0} \cdot \left(\prod_{i=1}^n \mu_i\right)^a \cdot H((U_{ID}||name) \oplus \omega_s)^{x_0} \cdot H\left(\left(\prod_{i=1}^n f_i\right)^{b \cdot x_A}\right)$$

4) GA: 通过式 (1) 验证用户提供的注册密钥是否有效:

6) GA 本地保存, 并将 ASK_{ID} 与文件加密密钥 SK 返回给用户.

$$e(RSK_{ID}, g) \stackrel{?}{=} e(mpk, g) \cdot e\left(\prod_{i=1}^n \mu_i, \delta\right) \cdot e(H((U_{ID}||name) \oplus \omega_s), mpk) \quad (1)$$

(3) 数据访问阶段

若验证未通过, 则要求用户重传 $(U_{ID}, \omega_s, RSK_{ID})$. 验证通过则继续. 本次验证可以确保 RSK_{ID} 的合法性以及 ω_s 的正确性.

群组用户可凭 $(\omega_s, RSK_{ID}, ASK_{ID}, SK)$ 访问 CSP 中的医疗数据. 群组用户必须在 t_{ID} 失效前完成数据访问. 一旦时间参数 t_{ID} 失效, 若仍需访问数据, 群组用户必须重新向 GA 申请访问密钥 ASK , 此做法可极大确保群

组用户合理且必要地访问和使用共享医疗数据,保护医疗数据的隐私性,另外强调重新授权 ASK 的过程无需 DO 参与。

同时, GA 必须定期监测群组用户的行为。群组用户在访问医疗数据过程中,若出现下述行为: (1) 长时间不访问数据。(2) 执行 DO 未授权的操作。 GA 将出现上述行为的群组用户认定为恶意用户,并执行下述操作。

1) 令本次认定所有的恶意用户的时间参数 t_{ID} 无效,并将该用户的 ID 添加到 L 中。

2) 重新选择随机数 $b \in Z_p^*$,更新 $\eta = g^{b \cdot x_A}$ 。

由于时间参数 t_{ID} 无效,恶意用户将立即丧失文件的访问权,并且因其 ID 被记录在撤销用户表 L 中, GA 将不会再为其发放新的 ASK 。

(4) 完整性验证阶段 (ProofGen 和 ProofVerify 算法)

DO 将加密医疗数据上传至云后, GA 需要定期委托 TPA 进行完整性验证。

1) TPA 选择包含 c 个随机数的集合 $R = \{i, i \in Z \text{ 并且 } 1 \leq i \leq n\}$ 。

2) TPA 针对每个 $i \in R$, 选择随机数 $v_i \in Z_p^*$ 。

TPA 发送完整性质询 $chal = \{i, v_i\}_{i \in R}$ 至 CSP 。

CSP 收到完整性质询后执行 ProofGen 算法。

1) CSP 计算 $\lambda = \sum_{(i,v_i) \in Q} v_i m_i$, $\sigma = \prod_{(i,v_i) \in Q} T_i^{v_i}$ 。

2) CSP 返回完整性证据 $P = \{\lambda, \sigma\}$ 给 TPA 。

TPA 收到 P 后, 执行 ProofVerify 算法, 验证式 (2), 如果等式成立, TPA 向 GA 发送 1 表示通过验证; 如果等式不成立, TPA 向 GA 发送 0 表示验证未通过。其中 $e(mpk, g)$ 可以提前计算。

$$e(\sigma, g) \stackrel{?}{=} e(mpk, g)^{\sum_{(i,v_i) \in Q} v_i} \cdot e\left(\prod_{(i,v_i) \in Q} H(\text{name}||i), g\right)^\lambda \quad (2)$$

5 安全性分析

定理 1 (正确性)。本方案满足以下正确性:

(1) RSK 正确性: 可以通过式 (1) 验证 RSK_{ID} 的正确性。

(2) 权限分配正确性: 只有提供正确的授权标识符 ω_s , RSK_{ID} 才能通过 GA 的验证。

(3) 完整性验证正确性: 可以通过式 (2) 验证完整性证据 P 的正确性。

证明: (1) 根据双线性映射的性质, RSK_{ID} 的验证公

式推导如下:

$$\begin{aligned} & e(RSK_{ID}, g) \\ &= e(g^{x_0} \cdot \left(\prod_{i=1}^n \mu_i\right)^a \cdot H((U_{ID}||\text{name}) \oplus \omega_s)^{x_0}, g) \\ &= e(g^{x_0}, g) \cdot e\left(\left(\prod_{i=1}^n \mu_i\right)^a, g\right) \cdot e(H((U_{ID}||\text{name}) \oplus \omega_s)^{x_0}, g) \\ &= e(g^{x_0}, g) \cdot e\left(\prod_{i=1}^n \mu_i, g\right)^a \cdot e(H((U_{ID}||\text{name}) \oplus \omega_s), g)^{x_0} \\ &= e(g^{x_0}, g) \cdot e\left(\prod_{i=1}^n \mu_i, g^a\right) \cdot e(H((U_{ID}||\text{name}) \oplus \omega_s), g^{x_0}) \\ &= e(mpk, g) \cdot e\left(\prod_{i=1}^n \mu_i, \delta\right) \cdot e(H((U_{ID}||\text{name}) \oplus \omega_s), mpk) \end{aligned}$$

在用户请求阶段, 只有 RSK_{ID} 通过了 GA 验证, 用户才能申请到访问密钥 ASK_{ID} 。否则, GA 会拒绝并通知用户重传 RSK_{ID} 。

(2) 只有用户给 GA 提供了正确的 ω_s , 用户的 RSK 才能通过 GA 的验证。由式 (1) 可知, 若 ω_s 被更改, 则式 (1) 右边哈希函数的输出会改变, 使得式 (1) 不成立, 因此用户无法通过伪造 ω_s 改变自己的权限。同时群管理员不需为完成验证用户权限而保存多余的用户信息。

(3) 在完整性验证阶段, TPA 验证完整性证据的等式推导如下:

$$\begin{aligned} & e(\sigma, g) \\ &= e\left(\prod_{(i,v_i) \in Q} T_i^{v_i}, g\right) \\ &= e\left(\prod_{(i,v_i) \in Q} (g^{x_0} \cdot H(\text{name}||i)^{m_i})^{v_i}, g\right) \\ &= e\left(\prod_{(i,v_i) \in Q} g^{x_0 \cdot v_i}, g\right) \cdot e\left(\prod_{(i,v_i) \in Q} H(\text{name}||i)^{m_i \cdot v_i}, g\right) \\ &= e(g^{x_0}, g)^{\sum_{(i,v_i) \in Q} v_i} \cdot e\left(\prod_{(i,v_i) \in Q} H(\text{name}||i), g\right)^{\sum_{(i,v_i) \in Q} m_i \cdot v_i} \\ &= e(mpk, g)^{\sum_{(i,v_i) \in Q} v_i} \cdot e\left(\prod_{(i,v_i) \in Q} H(\text{name}||i), g\right)^\lambda \end{aligned}$$

定理 2 (用户撤销安全性)。在本方案中, 非群组用户和被撤销的恶意用户都无法访问 DO 的医疗数据。

证明: 用户若想要访问医疗数据, 首先需要执行用户请求阶段的操作。用户先向 DO 发送自己的身份信息 ID 获取注册密钥 RSK_{ID} , 用户获得 RSK_{ID} 后成为群组用户。之后群组用户需从 GA 申请访问密钥 ASK_{ID} 和时间参数 t_{ID} 。

用户需凭 $(\omega_s, RSK_{ID}, ASK_{ID}, SK)$ 向 GA 申请访问医疗数据, GA 先确定时间参数 t_{ID} 的有效性, 只有当 t_{ID} 有效时 GA 才会继续验证用户 RSK_{ID} 和 ASK_{ID} 的正确性。 GA 检查用户 RSK_{ID} 的正确性来确定该用户拥有 DO 生成的 RSK_{ID} , 该步骤是为了确定该用户是经过

DO 授权的群组用户. 之后 GA 检查群组用户 ASK_{ID} 的正确性, 只有能通过 ASK_{ID} 正确性验证的用户才是合法群组用户, 该步骤是为了保证该群组用户不是恶意用户. 只有通过了上述验证, 用户才能访问医疗数据. 否则, GA 会拒绝该用户的访问请求.

若该用户是非群组用户 (没有有效的 t_{ID} , 合法的 RSK_{ID} 和 ASK_{ID} , 或是恶意用户 (没有有效的 t_{ID} 和合法的 ASK_{ID}), 则均无法通过上段所述 GA 的验证. 因此无法访问 DO 的医疗数据.

定理 3 (完整性验证安全性). 只有 CSP 拥有完整的医疗数据, 才能生成可通过 TPA 验证的完整性证据.

证明: 我们提出了一系列游戏并借助随机喻言模型证明. 若 CSP 未完整保存 DO 的数据, 但提供了可以通过 TPA 验证的完整性证据, 那么我们可以通过知识提取器与 CSP 的交互提取出所有被挑战的数据块.

游戏 0:

(1) 挑战者 C 运行 Setup 算法, 得到公共参数 pub 、主密钥 msk 和主公钥 mpk , 并将 pub 、 mpk 发送给攻击者 A .

(2) 攻击者 A 选取一系列数据块 m_1, \dots, m_n , 发送给挑战者 C 询问这些数据块对应的验证标签 T_1, \dots, T_n .

(3) 挑战者 C 随机发送完整性质询 $chal$ 给攻击者 A , 攻击者 A 返回完整性证据 P . 如果这个证据通过了验证者的验证, 则攻击者 A 胜利.

游戏 1: 以游戏 0 为基础, 挑战者 C 会保存在游戏 0 步骤 (2) 中被挑战的验证标签. 如果攻击者 A 提供了在游戏 0 步骤 (2) 中没有挑战过的数据块的验证标签, 挑战者 C 终止游戏并宣布攻击者 A 胜利.

分析: 假设 $P = \{\lambda, \sigma\}$ 是一个由诚实的 CSP 提供的可以通过完整性验证的完整性证据, 根据完整性验证正确性, 有式 (3) 成立.

$$e(\sigma, g) = e(mpk, g)^{\sum_{(i,v_i) \in Q} v_i} \cdot e\left(\prod_{(i,v_i) \in Q} H(name||i), g\right)^\lambda \quad (3)$$

若攻击者 A 提供了不同于 P 的证据 $P' = \{\lambda', \sigma'\}$ 通过了验证, 则式 (4) 成立:

$$e(\sigma', g) = e(mpk, g)^{\sum_{(i,v_i) \in Q} v_i} \cdot e\left(\prod_{(i,v_i) \in Q} H(name||i), g\right)^{\lambda'} \quad (4)$$

显然 $\lambda' \neq \lambda$, 否则 $\sigma' = \sigma$, 与游戏 2 矛盾. 因此定义 $\Delta\lambda = \lambda' - \lambda \neq 0$, 如果在游戏 1 中挑战者 C 会以不可

忽略的概率终止游戏, 那么可以构造出能求解 CDH 问题的模拟器. 给定 $g, g^a, h \in G_1$, 模拟器的目标是输出 h^a . 因为 G_1 是乘法循环群且 g 是 G_1 生成元, 所以一定有 $x \in Z_p^*$, 使得 $g^x = h$. 随机选择 $b \in Z_p^*$, 令 $g^{ax}h^b = \prod_{(i,v_i) \in Q} H(name||i)$. 式 (4) 除以式 (3) 得:

$$\begin{aligned} e(\sigma'/\sigma, g) &= e\left(\prod_{(i,v_i) \in Q} H(name||i), g\right)^{\lambda' - \lambda} \\ &= e(g^{ax}h^b, g)^{\Delta\lambda} \end{aligned}$$

可得 $\sigma'/\sigma = (g^{ax}h^b)^{\Delta\lambda}$, 所以有 $h^a = g^{ax} = (\sigma'/\sigma)^{\frac{1}{\Delta\lambda}} \cdot h^{\frac{1}{b}}$.

综上, CDH 问题无解的概率和 $b=0$ 的概率相同. $b=0$ 的概率是 $1/p$, p 是大素数, 所以这个概率是可忽略的. 如果攻击者 A 赢得游戏 0 和游戏 1 的概率有不可忽略的差距, 那么可以构造出能以不可忽略的概率解决 CDH 问题的模拟器, 这与我们的假设是矛盾的.

游戏 2: 在游戏 1 的基础上, 挑战者 C 会保存一个用来记录所有攻击者 A 查询过的数据块的列表. 如果在第 (3) 步, 攻击者 A 提供了包含未询问过的数据块的 λ , 挑战者 C 会终止游戏, 并宣布攻击者 A 成功.

分析: 从游戏 1 的分析得 $\sigma' = \sigma$, 因此定义 $\Delta\lambda = \lambda' - \lambda$.

给定 $g, h \in G_1$, 构造的模拟器的目标是计算出满足 $h = g^a$ 的 a , 模拟器随机选择 $b \in Z_p^*$, 设置 $g^x h^b = \prod_{(i,v_i) \in Q} H(name||i)$.

由式 (3) 和式 (4) 可得:

$$\begin{aligned} e(mpk, g)^{\sum_{(i,v_i) \in Q} v_i} \cdot e\left(\prod_{(i,v_i) \in Q} H(name||i), g\right)^\lambda &= e(\sigma', g) \\ &= e(\sigma, g) = e(mpk, g)^{\sum_{(i,v_i) \in Q} v_i} \cdot e\left(\prod_{(i,v_i) \in Q} H(name||i), g\right)^{\lambda'} \end{aligned}$$

有 $\prod_{(i,v_i) \in Q} H(name||i)^\lambda = \prod_{(i,v_i) \in Q} H(name||i)^{\lambda'}$, 之后 $1 = (\prod_{(i,v_i) \in Q} H(name||i))^{\Delta\lambda} = (g^x h^b)^{\Delta\lambda}$. 因为 $\Delta\lambda \neq 0 \pmod{q}$, 否则有 $\lambda = \lambda' \pmod{q}$, 因此可得 $h = g^{-x/b}$, 则 DL 问题的结果为 $-x/b$.

因为 b 有 $1/q$ 的概率是 0, q 是大素数, 因此 $1/q$ 是可以忽略的, DL 问题有解的概率为 $1 - 1/q$. 这与 DL 假设相矛盾. 这代表如果攻击者 A 取得游戏 2 和游戏 3 成功的概率有不可忽略的差距, 则可以构造出能够解决 DL 问题的模拟器. 综上可得, 可以忽略上述游戏之间的差异.

最后, 我们构造一个知识提取器, 通过选择固定的 c 个数据块 m_i , 并为每个数据块选择不同的系数 v_i . 知识提取器对这 c 个数据块 m_i 向诚实的 CSP 发起挑战,

每挑战一次重新选择数据块系数,共挑战 c 次,通过合法的证据中的 λ ,最后能够得到 c 个相互独立的关于 c 个数据块 m_i 的线性方程组,如式 (5):

$$\begin{cases} \lambda_1 = v_{11}m_1 + v_{12}m_2 + \cdots + v_{1c}m_c \\ \lambda_2 = v_{21}m_1 + v_{22}m_2 + \cdots + v_{2c}m_c \\ \vdots \\ \lambda_c = v_{c1}m_1 + v_{c2}m_2 + \cdots + v_{cc}m_c \end{cases} \quad (5)$$

通过求解线性方程组,知识提取器可以获取 c 个数据块 m_i .这代表只要 CSP 通过 TPA 的完整性验证,CSP 一定完好无损地存储了 DO 的医疗数据.

定理 4. 即使 TPA 参与完整性证据的验证,也无法知悉用户医疗数据的内容.

证明: TPA 收到 CSP 返回的完整性证据是 $P = \{\lambda, \sigma\}$, 因为 $\lambda = \sum_{(i,v_i) \in Q} v_i m_i$ 中 m_i 是医疗数据数据块的密文形式.因此,如果 TPA 出于好奇想要获取数据,对相同的 c 个数据块发出 c 次不同的挑战,那么 TPA 可以得到 $\lambda_j = \sum_{(i,v_i) \in Q} v_{ji} m_i, 1 \leq j \leq c$, 即如式 (5) 所示线性方程组.

但在本方案中,求解上述线性方程组的结果是加密后的医疗数据.因为 TPA 没有解密密钥 SK ,所以 TPA 无法通过上述操作获取 DO 的医疗数据.

表 1 计算开销对比

阶段	本方案	文献[17]	文献[19]
标签生成	$nExp + nMul + nHash$	$2nExp + nMul + nHash$	$4nExp + 6nMul + nHash$
完整性验证	证据生成 $(2c-1)Mul + cExp + (c-1)Add$	$(2c-1)Mul + cExp + (c-1)Add$	$2cMul + (c+1)Exp + pair + cAdd + Hash$
	证据验证 $(c-1)Add + cMul + 2pair + 2Exp + cHash$	$(c+3)Mul + (c+3)Exp + 2pair + (c+2)Hash$	$(c-1)Add + (c+4)Mul + 3pair + (c+3)Exp + (c+1)Hash$
用户撤销	—	Add	—

表 2 中列出本方案与文献[17]和文献[19]在不同阶段的通信开销.在标签生成阶段,本方案和文献[17]的通信开销均为 $n|p| + n|q|$ 比特,而文献[19]中标签由群管理员与群组用户共同生成.在完整性验证阶段,通信开销包括完整性质询 $chal$ 和收到的完整性证据 P , 3 个方案中 $chal$ 的大小均为 $c|p| + c|id|$ 比特,本方案和文献[17]中 P 的大小均为 $|p| + |q|$ 比特,文献[19]则需要传输更多数据.在用户撤销阶段,本方案中需要更新 ASK_{ID} 的用户只需向 GA 发送请求,即可得到新的 ASK_{ID} , ASK_{ID} 大小为 $|p|$ 比特;而文献[17]用户发送申请后,收到管理者发送的信息大小为 $|p| + |q|$ 比特.文献[19]撤销

6 性能评估

6.1 性能分析

Mul 表示执行一次乘法运算的时间, Exp 表示执行一次模幂运算的时间, $Hash$ 表示执行一次哈希运算的时间, Add 表示执行一次加法运算的时间, $Pair$ 表示计算一次双线性映射的时间, $|p|$ 和 $|q|$ 分别代表 G_1 和 Z_q^* 中单个元素的大小, $|id|$ 表示数据块索引的大小.

表 1 中列出了本方案与文献[17]和文献[19]在不同阶段的计算开销.在标签生成阶段,由于本文方案生成标签的模幂运算较少,因此对应的计算开销少于文献[17].文献[19]中由于标签生成需要 GM 和群组用户共同完成,需要更复杂的计算.在完整性验证阶段,本方案与文献[17]证据生成的计算过程基本相同,文献[19]需在本方案基础上计算更多参数,因此计算开销更大.在证据验证阶段,本文比文献[17]和文献[19]的计算开销都小.用户撤销阶段,以撤销一个用户的计算开销为例.本方案执行用户撤销操作后,受到影响的群组用户只需向 GA 申请就可以得到更新的访问密钥 ASK_{ID} .文献[19]不需更改密钥,由 GM 在本地更新用户信息表即可.而文献[17]中未被撤销用户凭借服务器发送的信息,执行一次加法操作后才可以获得新密钥.

群组用户后,正常群组用户无须更新任何信息,而是需要 GM 更新在本地保存的用户信息表.

表 2 通信开销对比

阶段	本方案	文献[17]	文献[19]
标签生成	$n p + n q $	$n p + n q $	$3n p + n q $
完整性验证	$(c+1) p + q + c id $	$(c+1) q + p + c id $	$(c+2) q + 2 p + c id $
用户撤销	$ p $	$ p + q $	—

6.2 实验结果

仿真实验对方案的可行性进行了评估,PC 硬件配置 Intel Core i5 处理器,8 GB 内存.实验使用 Java 语言,调用 JPBC 库,设置 G_1 中元素大小为 512 比特, Z_q^*

中元素大小为 160 比特. 仿真实验假定共享医疗数据大小为 20 MB, 共由 1 000 000 个数据块组成, 每个阶段实验均执行多次取平均值.

(1) 标签生成阶段

为评估标签生成阶段的性能, 以 200 为间隔, 计算 TagGen 算法的性能, 每个实验分别运行 20 次后取平均值, 与文献[17]和文献[19]做对比, 对比结果如图 4 所示. 本方案的开销比其他方案都更小.

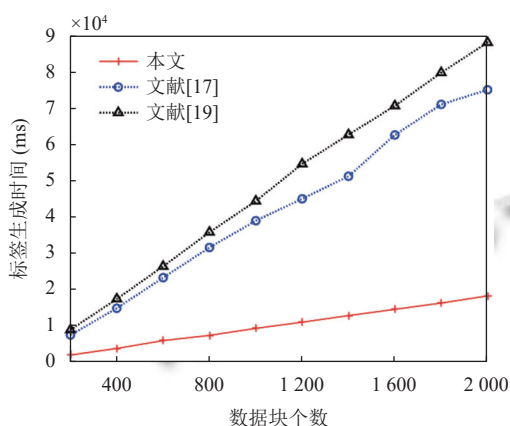


图 4 标签生成时间对比

(2) 密钥生成

图 5 中给出系统产生 RSK 和 ASK 的计算开销, 以 10 为间隔, 用户数从 10 增长到 100, 每次实验执行 20 次取平均值.

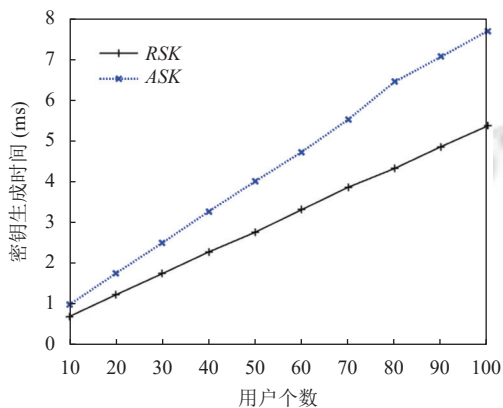


图 5 密钥生成开销

(3) 完整性验证阶段

完整性验证阶段包括证据生成和证据验证两部分. 实验中以 100 为间隔, 挑战从 0 到 1 000 个数据块, 每次执行 20 次取平均值.

图 6 为证据生成的计算开销对比, 本方案和文

献[17]证据生成计算开销接近, 而文献[19]需要更大计算量. 图 7 为本文方案与文献[17]方案证据验证的计算开销对比, 可以看出本方案的计算开销较小.

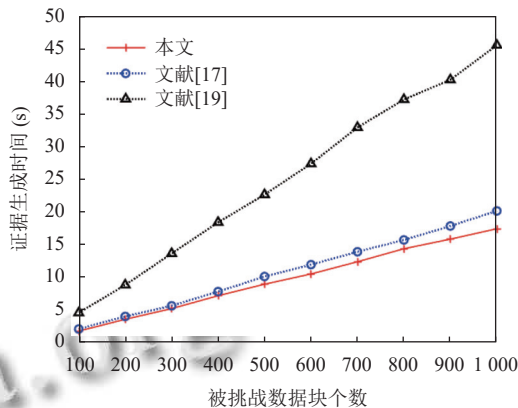


图 6 证据生成时间对比

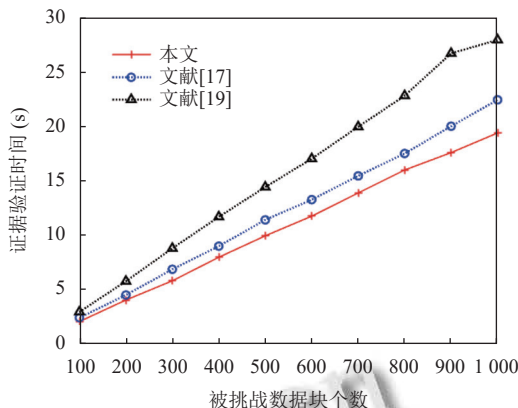


图 7 证据验证时间对比

7 结束语

通过云存储服务共享医疗数据, 可以实现诊疗快速化, 但云医疗数据脱离了用户的完全控制, 可能由于各种原因造成损坏, 并且群组用户访问共享数据时也可能越权操作. 因此, 为同时保证云共享医疗数据的完整性和规范访问数据群组用户的行为, 在共享云存储医疗数据的场景下, 提出了同时支持用户访问权限分配和高效撤销恶意用户的数据完整性验证方案. 最后的安全性分析和仿真实验, 分别证明本方案具有较好的安全性和高效性.

参考文献

1 Yenugula M, Sahoo SK, Goswami SS. Cloud computing for sustainable development: An analysis of environmental, economic and social benefits. Journal of Future

- Sustainability, 2024, 4(1): 59–66. [doi: [10.5267/j.jfs.2024.1.005](https://doi.org/10.5267/j.jfs.2024.1.005)]
- 2 Shen JY, Zeng P, Choo KKR, *et al.* A certificateless provable data possession scheme for cloud-based EHRs. *IEEE Transactions on Information Forensics and Security*, 2023, 18: 1156–1168. [doi: [10.1109/TIFS.2023.3236451](https://doi.org/10.1109/TIFS.2023.3236451)]
- 3 Liu ZP, Ren LL, Feng YJ, *et al.* Data integrity audit scheme based on quad Merkle tree and blockchain. *IEEE Access*, 2023, 11: 59263–59273. [doi: [10.1109/ACCESS.2023.3240066](https://doi.org/10.1109/ACCESS.2023.3240066)]
- 4 Gordon WJ, Catalini C. Blockchain technology for healthcare: Facilitating the transition to patient-driven interoperability. *Computational and Structural Biotechnology Journal*, 2018, 16: 224–230. [doi: [10.1016/j.csbj.2018.06.003](https://doi.org/10.1016/j.csbj.2018.06.003)]
- 5 Agapito G, Cannataro M. An overview on the challenges and limitations using cloud computing in healthcare corporations. *Big Data and Cognitive Computing*, 2023, 7(2): 68. [doi: [10.3390/bdcc7020068](https://doi.org/10.3390/bdcc7020068)]
- 6 张晓均, 王鑫, 廖文才, 等. 支持条件身份匿名的云存储医疗数据轻量级完整性验证方案. *电子与信息学报*, 2022, 44(12): 4348–4356. [doi: [10.11999/JEIT210971](https://doi.org/10.11999/JEIT210971)]
- 7 王宏远, 祝烈煌, 李龙一佳. 云存储中支持数据去重的群组数据持有性证明. *软件学报*, 2016, 27(6): 1417–1431. [doi: [10.13328/j.cnki.jos.004995](https://doi.org/10.13328/j.cnki.jos.004995)]
- 8 王少辉, 赵铮宇, 王化群, 等. 对一个基于身份远程数据完整性验证方案的分析与改进. *计算机科学*, 2023, 50(7): 302–307. [doi: [10.11896/jsjcx.220600067](https://doi.org/10.11896/jsjcx.220600067)]
- 9 Qi YN, Luo YB, Huang YF, *et al.* Blockchain-based privacy-preserving group data auditing with secure user revocation. *Computer Systems Science and Engineering*, 2023, 45(1): 183–199. [doi: [10.32604/csse.2023.031030](https://doi.org/10.32604/csse.2023.031030)]
- 10 Huang YH, Shen WT, Qin J, *et al.* Privacy-preserving certificateless public auditing supporting different auditing frequencies. *Computers & Security*, 2023, 128: 103181. [doi: [10.1016/j.cose.2023.103181](https://doi.org/10.1016/j.cose.2023.103181)]
- 11 Trivedi C, Parmar K, Rao UP. PGASH: Provable group-based authentication scheme for Internet of Healthcare Things. *Peer-to-peer Networking and Applications*, 2024, 17(2): 665–684. [doi: [10.1007/s12083-023-01611-9](https://doi.org/10.1007/s12083-023-01611-9)]
- 12 Wang BY, Li BC, Li H. Oruta: Privacy-preserving public auditing for shared data in the cloud. *IEEE Transactions on Cloud Computing*, 2014, 2(1): 43–56. [doi: [10.1109/TCC.2014.2299807](https://doi.org/10.1109/TCC.2014.2299807)]
- 13 Ateniese G, Burns R, Curtmola R, *et al.* Provable data possession at untrusted stores. *Proceedings of the 14th ACM Conference on Computer and Communications Security*. Alexandria: ACM, 2007. 598–609. [doi: [10.1145/1315245.1315318](https://doi.org/10.1145/1315245.1315318)]
- 14 Wang C, Chow SSM, Wang Q, *et al.* Privacy-preserving public auditing for secure cloud storage. *IEEE Transactions on Computers*, 2013, 62(2): 362–375. [doi: [10.1109/TC.2011.245](https://doi.org/10.1109/TC.2011.245)]
- 15 Wang BY, Li BC, Li H. Panda: Public auditing for shared data with efficient user revocation in the cloud. *IEEE Transactions on Services Computing*, 2015, 8(1): 92–106. [doi: [10.1109/TSC.2013.2295611](https://doi.org/10.1109/TSC.2013.2295611)]
- 16 付安民, 秦宁元, 宋建业, 等. 云端多管理者群组共享数据中具有隐私保护的公开审计方案. *计算机研究与发展*, 2015, 52(10): 2353–2362. [doi: [10.7544/issn1000-1239.2015.20150544](https://doi.org/10.7544/issn1000-1239.2015.20150544)]
- 17 Zhang Y, Yu J, Hao R, *et al.* Enabling efficient user revocation in identity-based cloud storage auditing for shared big data. *IEEE Transactions on Dependable and Secure Computing*, 2020, 17(3): 608–619. [doi: [10.1109/TDSC.2018.2829880](https://doi.org/10.1109/TDSC.2018.2829880)]
- 18 He K, Chen J, Yuan Q, *et al.* Dynamic group-oriented provable data possession in the cloud. *IEEE Transactions on Dependable and Secure Computing*, 2021, 18(3): 1394–1408. [doi: [10.1109/TDSC.2019.2925800](https://doi.org/10.1109/TDSC.2019.2925800)]
- 19 Deng C, He MX, Wen XY, *et al.* Support efficient user revocation and identity privacy in integrity auditing of shared data. *Proceedings of the 7th International Conference on Cloud Computing and Big Data Analytics*. Chengdu: IEEE, 2022. 221–229. [doi: [10.1109/ICCCBDA55098.2022.9778916](https://doi.org/10.1109/ICCCBDA55098.2022.9778916)]
- 20 Li YP, Li YZ, Zhang K, *et al.* Public integrity auditing for dynamic group cooperation files with efficient user revocation. *Computer Standards & Interfaces*, 2023, 83: 103641. [doi: [10.1016/j.csi.2022.103641](https://doi.org/10.1016/j.csi.2022.103641)]
- 21 Yang G, Han LD, Bi JG, *et al.* A collusion-resistant certificateless provable data possession scheme for shared data with user revocation. *Cluster Computing*, 2024, 27(2): 2165–2179. [doi: [10.1007/s10586-023-04078-8](https://doi.org/10.1007/s10586-023-04078-8)]
- 22 Pugh W. Skip lists: A probabilistic alternative to balanced trees. *Communications of the ACM*, 1990, 33(6): 668–676. [doi: [10.1145/78973.78977](https://doi.org/10.1145/78973.78977)]

(校对责编: 孙君艳)